



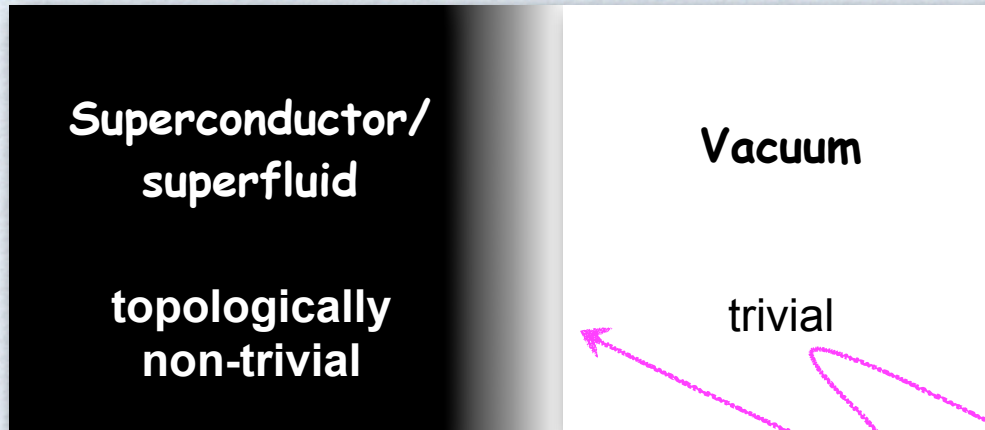
# 超流動 $^3\text{He}$ -A相の エッジ流による角運動量

岡山大学自然科学研究科  
学振特別研究員 (PD)

堤 康雅

共同研究者：水島健，市岡優典，町田一成

# Topological Superfluid



Topological # defined in momentum space

$$\nu = \mathbb{Z} \quad 2D p+ip$$

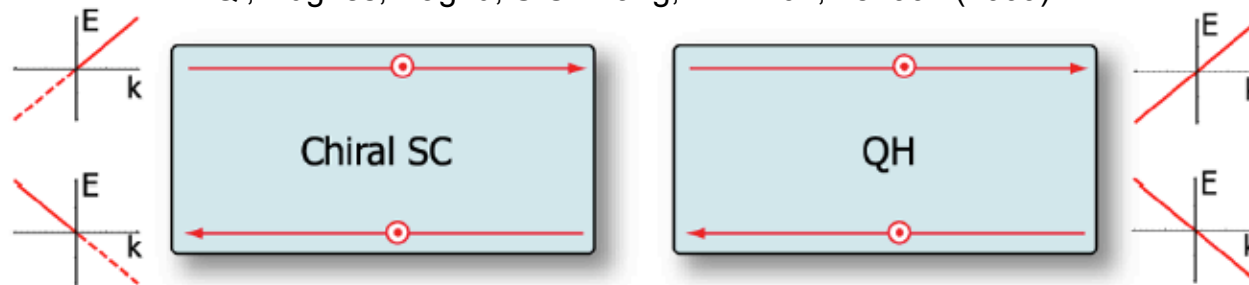
$$\nu = \mathbb{Z}_2 \quad 2D BW$$

Read and Green, PRB **61**, 10267 (2000)  
 Schnyder *et al.*, PRB **78**, 195125 (2008)

Surface Andreev bound states  
 ~ topological phase transition

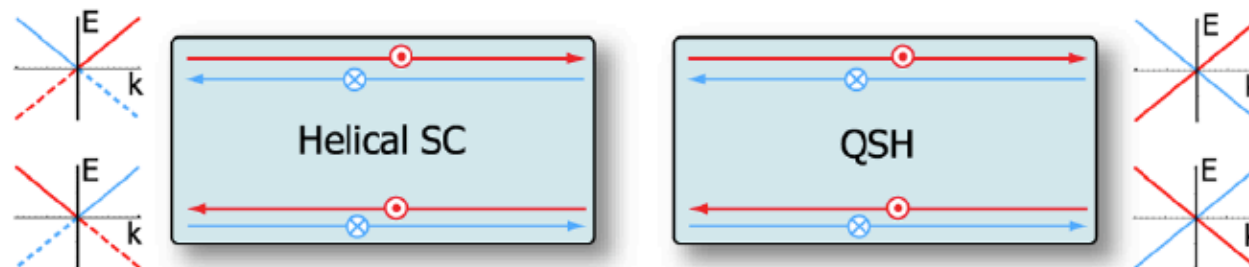
Qi, Hughes, Raghu, S.C.Zhang, PRL **102**, 187001 (2009)

A-phase in 2D



Broken  
 time-reversal  
 symmetry

B-phase in 2D

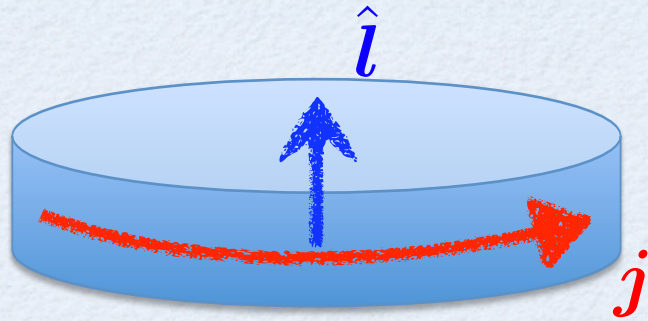


Time-reversal  
 invariant

Majorana field

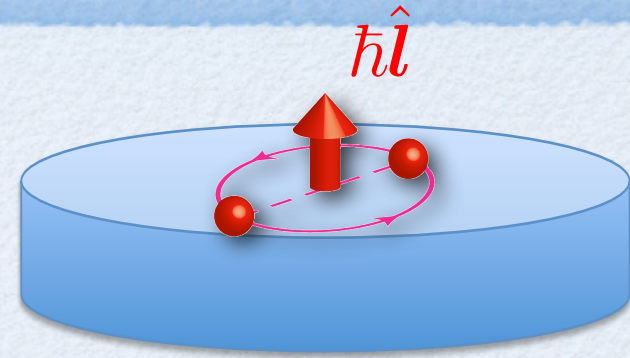
Dirac field

# Contents



表面Andreev束縛状態に伴う  
エッジカレントの角運動量

$$N\hbar/2 \quad (T \rightarrow 0)$$



Intrinsic Angular Momentum

$$N\hbar/2$$

## ● エッジカレントの性質

- 角運動量へのbound state, continuumの寄与
- 角運動量の温度変化

超流動密度の温度変化との比較

# Quasi-Classical Theory

## Riccati方程式

$$\begin{aligned}\hbar\mathbf{v}_F \cdot \nabla \hat{a}(\mathbf{k}_F, \mathbf{r}, \omega_n) &= \hat{\Delta} - \hat{a}(\mathbf{k}_F, \mathbf{r}, \omega_n) \hat{\Delta}^\dagger \hat{a}(\mathbf{k}_F, \mathbf{r}, \omega_n) - 2\omega_n \hat{a}(\mathbf{k}_F, \mathbf{r}, \omega_n) \\ -\hbar\mathbf{v}_F \cdot \nabla \hat{b}(\mathbf{k}_F, \mathbf{r}, \omega_n) &= \hat{\Delta}^\dagger - \hat{b}(\mathbf{k}_F, \mathbf{r}, \omega_n) \hat{\Delta} \hat{b}(\mathbf{k}_F, \mathbf{r}, \omega_n) - 2\omega_n \hat{b}(\mathbf{k}_F, \mathbf{r}, \omega_n)\end{aligned}$$

$$\begin{pmatrix} \hat{g} & i\hat{f} \\ -i\hat{f} & -\hat{g} \end{pmatrix} = \begin{pmatrix} (\hat{1} + \hat{a}\hat{b})^{-1} & 0 \\ 0 & (\hat{1} + \hat{b}\hat{a})^{-1} \end{pmatrix} \begin{pmatrix} \hat{1} - \hat{a}\hat{b} & 2i\hat{a} \\ -2i\hat{b} & -(\hat{1} - \hat{b}\hat{a}) \end{pmatrix} \begin{matrix} \downarrow \\ \uparrow \end{matrix} \hat{\Delta}$$

## ギャップ方程式

$$\hat{\Delta}(\mathbf{k}_F, \mathbf{r}) = N_0 \pi k_B T \sum_{-\omega_c \leq \omega_n \leq \omega_c} \left\langle V(\mathbf{k}_F, \mathbf{k}'_F) \hat{f}(\mathbf{k}'_F, \mathbf{r}, \omega_n) \right\rangle_{\mathbf{k}'_F}$$

$$\text{pair potential : } V(\mathbf{k}_F, \mathbf{k}'_F) = 3g_1 \mathbf{k}_F \cdot \mathbf{k}'_F$$

弱結合 (低圧極限)  
フェルミ液体補正なし

# Mass Current and LDOS

## Mass current

$$\hat{g} = \begin{pmatrix} g_0 + g_z & g_x - ig_y \\ g_x + ig_y & g_0 - g_z \end{pmatrix}$$

$$\mathbf{j}(\mathbf{r}) = mN_0\pi k_B T \sum_{-\omega_c \leq \omega_n \leq \omega_c} \langle \mathbf{v}_F \text{Im}[g_0(\mathbf{k}_F, \mathbf{r}, \omega_n)] \rangle_{\mathbf{k}_F}$$

$$\mathbf{j}(\mathbf{r}, E) = mN_0 \langle \mathbf{v}_F \text{Re}[g_0(\mathbf{k}_F, \mathbf{r}, \omega_n)|_{i\omega_n \rightarrow E+i\eta}] \rangle_{\mathbf{k}_F}$$

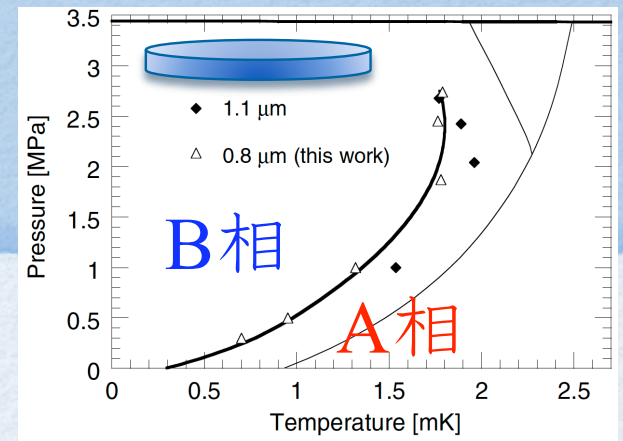
## Local density of states (LDOS)

$$N(\mathbf{r}, E) = \langle N(\mathbf{k}_F, \mathbf{r}, E) \rangle_{\mathbf{k}_F} = N_0 \langle \text{Re}[g_0(\mathbf{k}_F, \mathbf{r}, \omega_n)|_{i\omega_n \rightarrow E+i\eta}] \rangle_{\mathbf{k}_F}$$

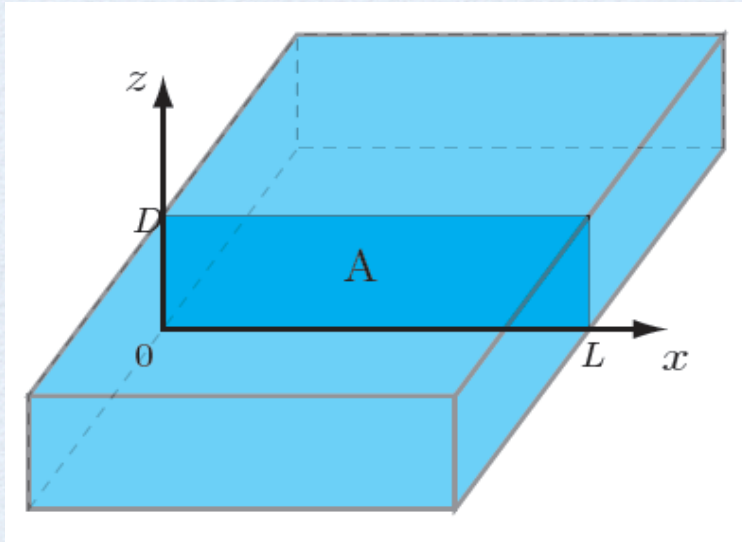
Angle-resolved LDOS

ピークから分散関係

# System



Kawasaki *et al.*, PRL **93**, 105301 (2004).



## 断面A

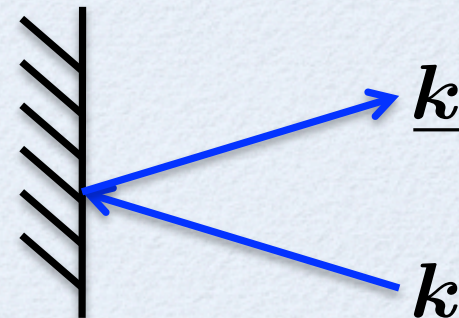
- $z$ 方向へ厚さ  $D$
- $x$ 方向へ巨視的な長さ
- $y$ 方向へは一樣

$$L = 40\xi_0, T = 0.2T_c$$

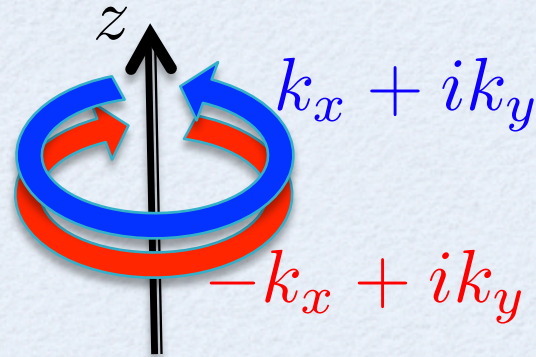
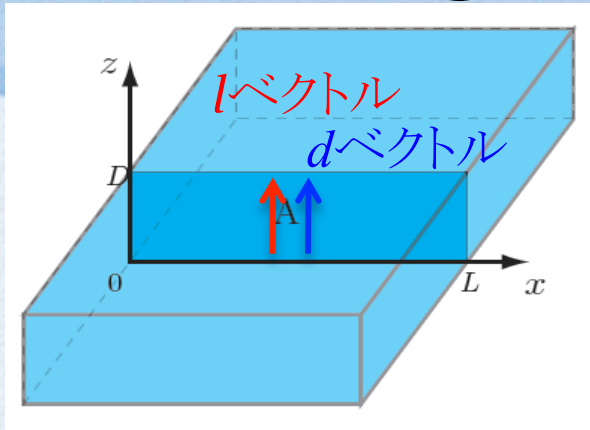
## 境界条件

- specular surface

$$\hat{g}(\mathbf{k}, \mathbf{R}_{\text{surf}}, \omega_n) = \hat{g}(\underline{\mathbf{k}}, \mathbf{R}_{\text{surf}}, \omega_n)$$

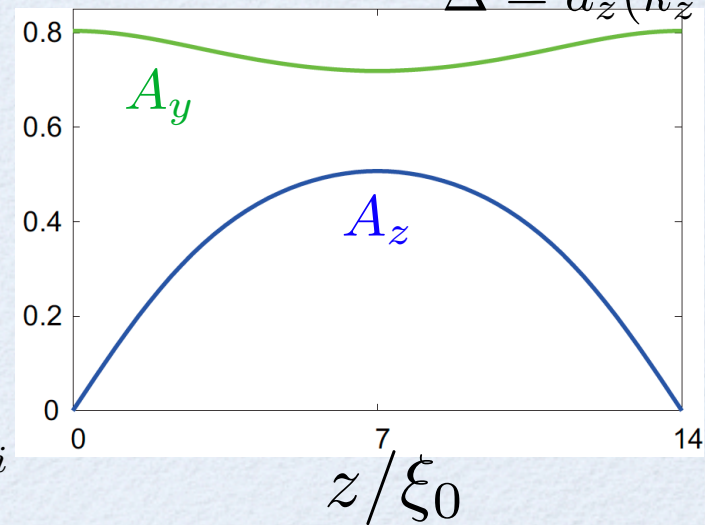
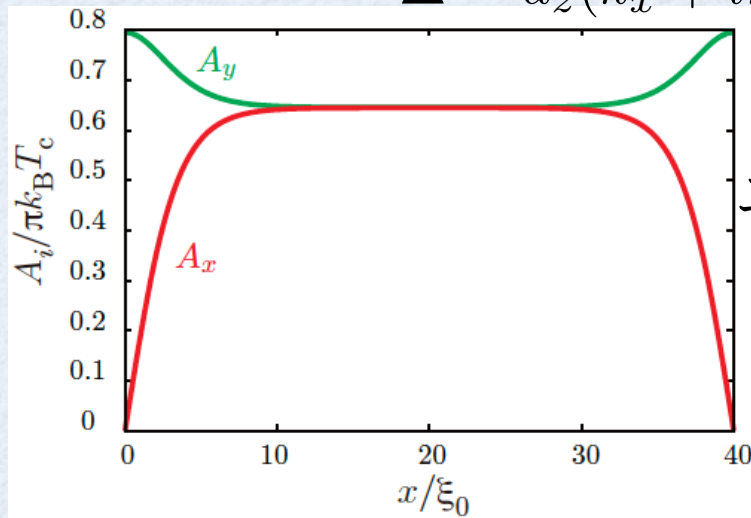


# Order Parameter



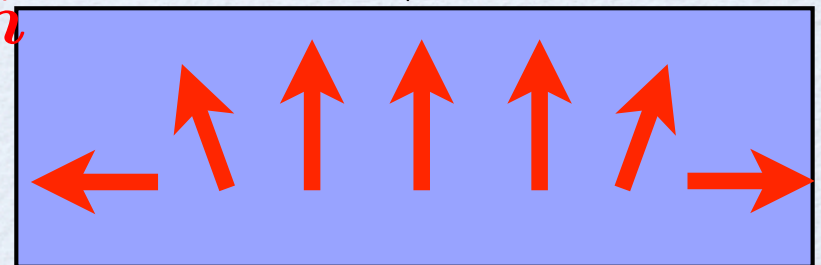
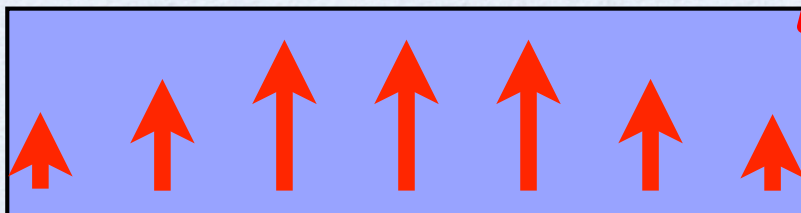
$D = 8\xi_0$  バルク  
 $\Delta = d_z(k_x + ik_y)$

$D = 14\xi_0$  エッジ  
 $\Delta = d_z(k_z + ik_y)$



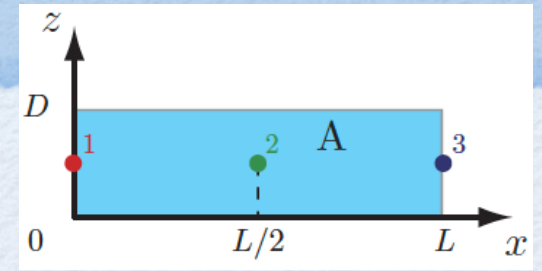
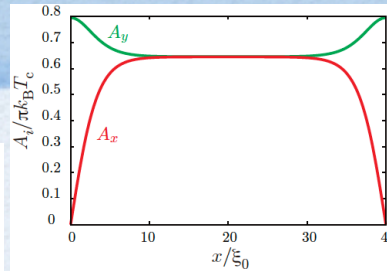
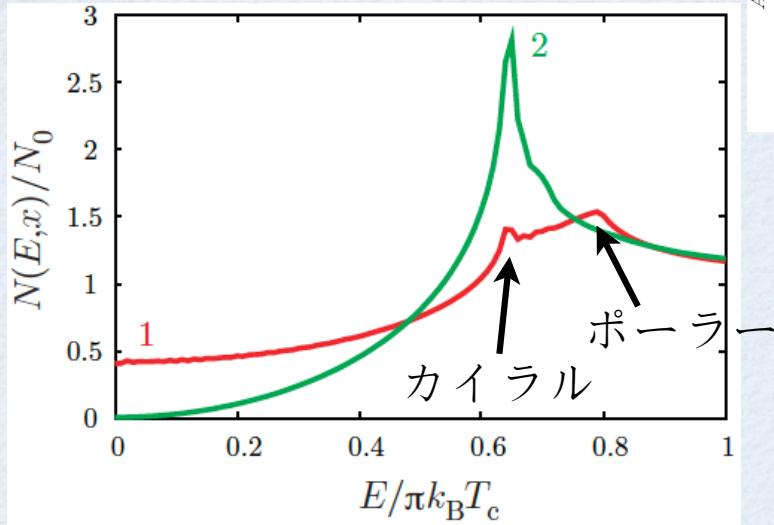
$A_i = (\tilde{m} + i\tilde{n})_i$

$\tilde{l} = \tilde{m} \times \tilde{n}$



# Surface Andreev Bound State

## LDOS



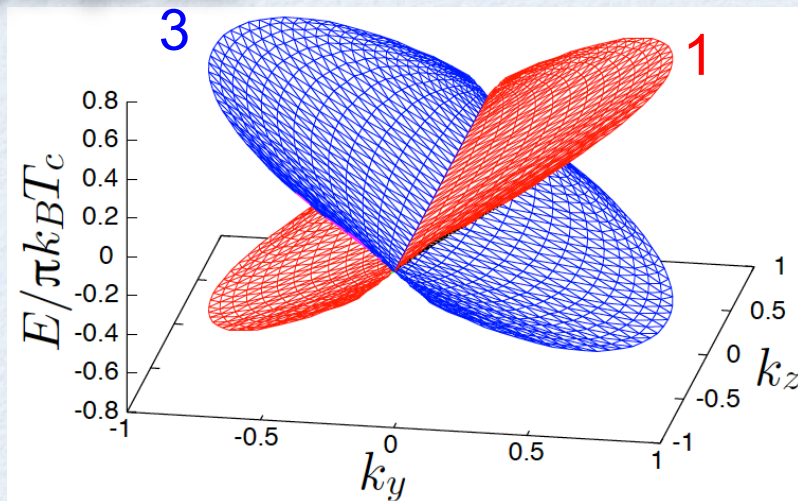
バルク：ポイントノード

$$N(E, x = L/2) \propto E^2$$

エッジ：ゼロエネルギー状態

$$N(E, x = 0) = N(E = 0) + \alpha E^2$$

## Dispersion



$k_y = k_z = 0, (k_x = \pm 1)$ : エッジに垂直

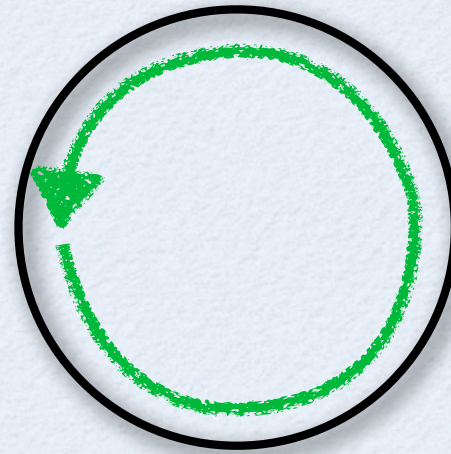
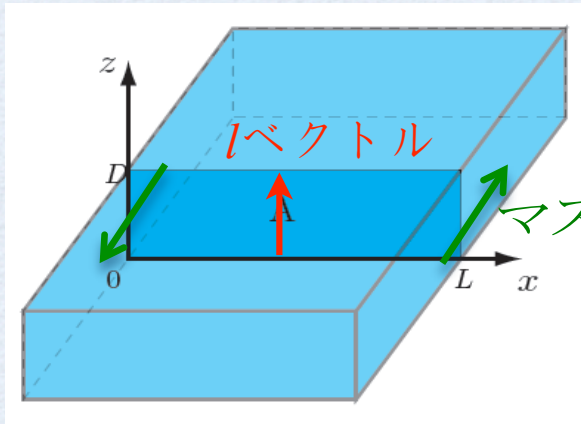
ゼロエネルギー

- $k_z$ 方向 (ポイントノード) には分散なし
- $k_y$ 方向 (一様) には線形な分散
- エッジごとに分散の傾きが異なる



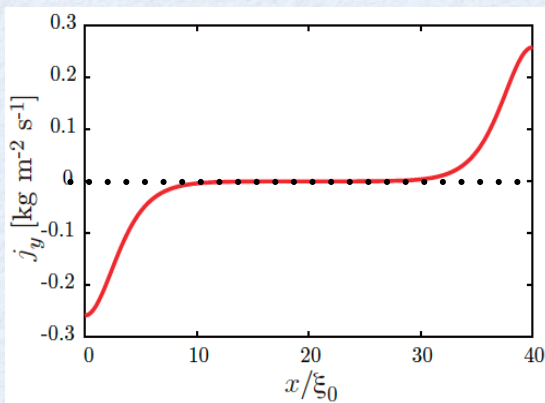
# Edge Current

## A-phase: mass current



$$L_z \approx 0.42N\hbar \quad (T = 0.2T_c)$$

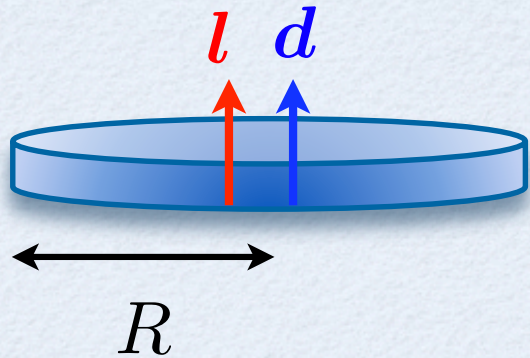
$N$ : スラブ中の $^3\text{He}$ 原子数



$$L_z = \frac{1}{2}N\hbar \quad (T = 0)$$

Intrinsic angular momentum

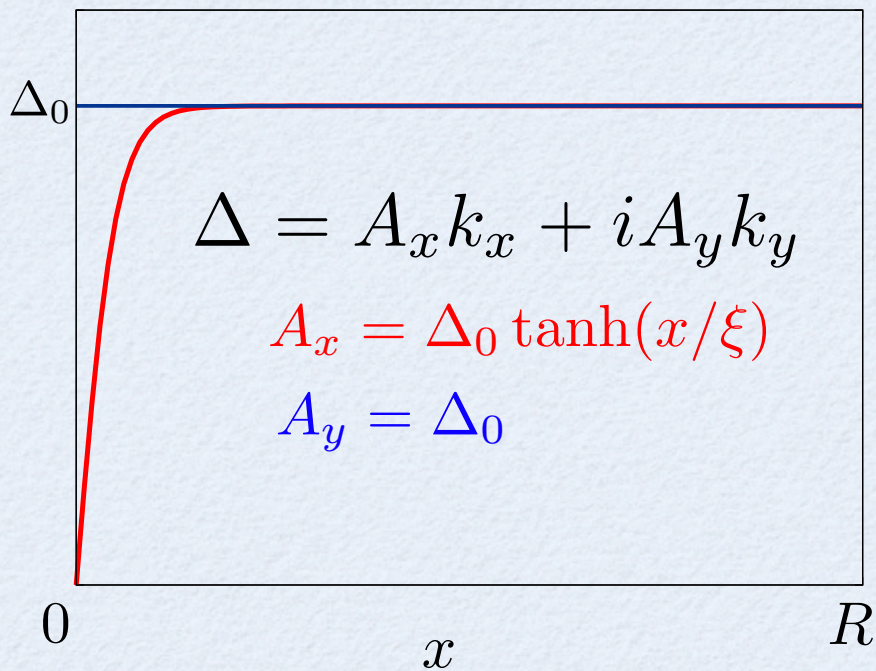
# Low Temperature Limit



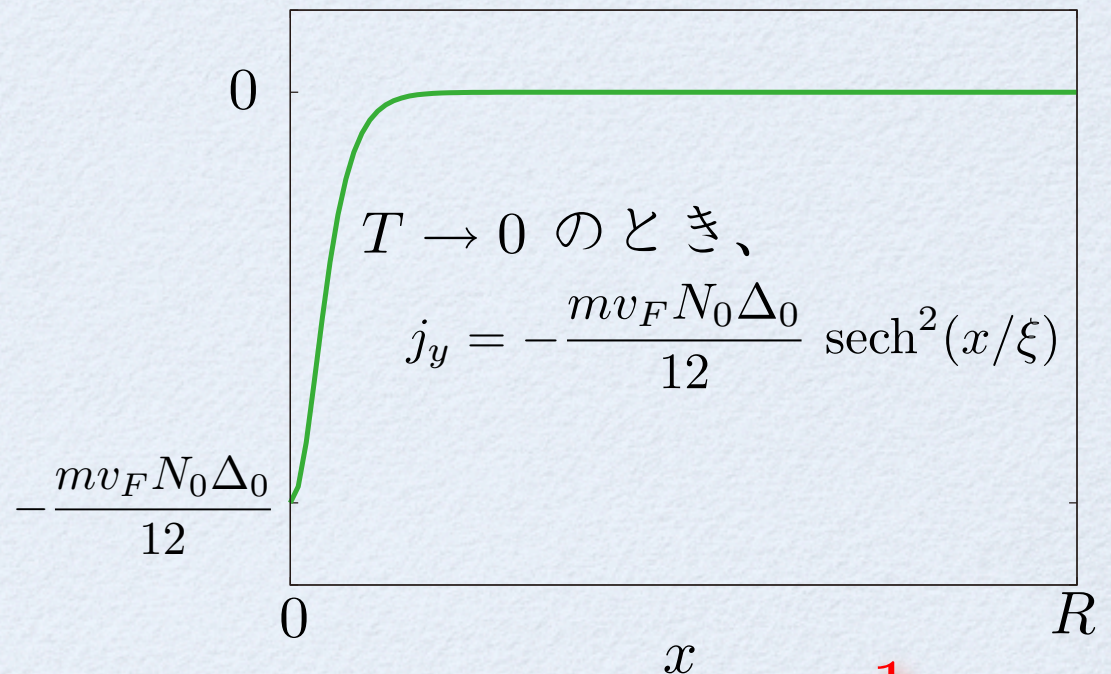
● analytic solution

$$g_0 = \frac{1}{\sqrt{\omega_n^2 + \Delta_0^2 \sin^2 \theta}} \left[ \omega_n + \frac{\Delta_0^2 \sin^2 \theta \cos^2 \phi}{2(\omega_n + i\Delta_0 \sin \theta \sin \phi)} \operatorname{sech}^2(x/\xi) \right]$$

$$\mathbf{j}(\mathbf{r}) = mN_0\pi k_B T \sum_{\omega_n} \langle \mathbf{v}_F \operatorname{Im}[g_0(\mathbf{k}_F, \mathbf{r}, \omega_n)] \rangle_{\mathbf{k}_F}$$



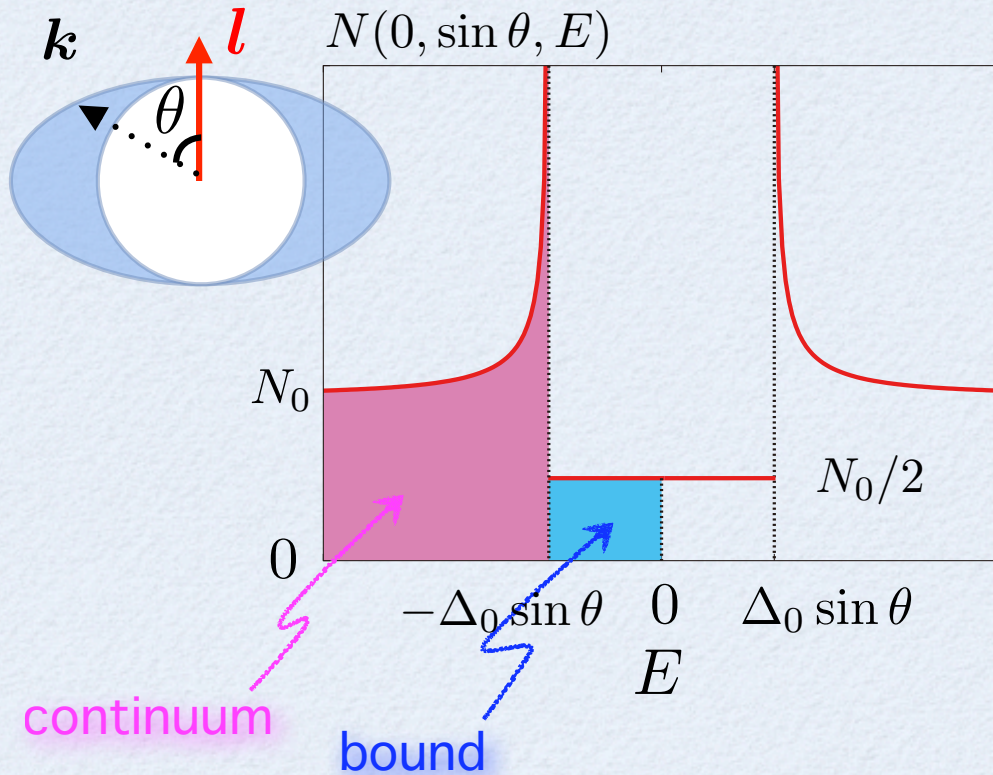
$$(k_x = \cos \phi \sin \theta, k_y = \sin \phi \sin \theta)$$



$$\xi \ll R \text{ のとき、 } L_z = \frac{1}{2} N \hbar$$

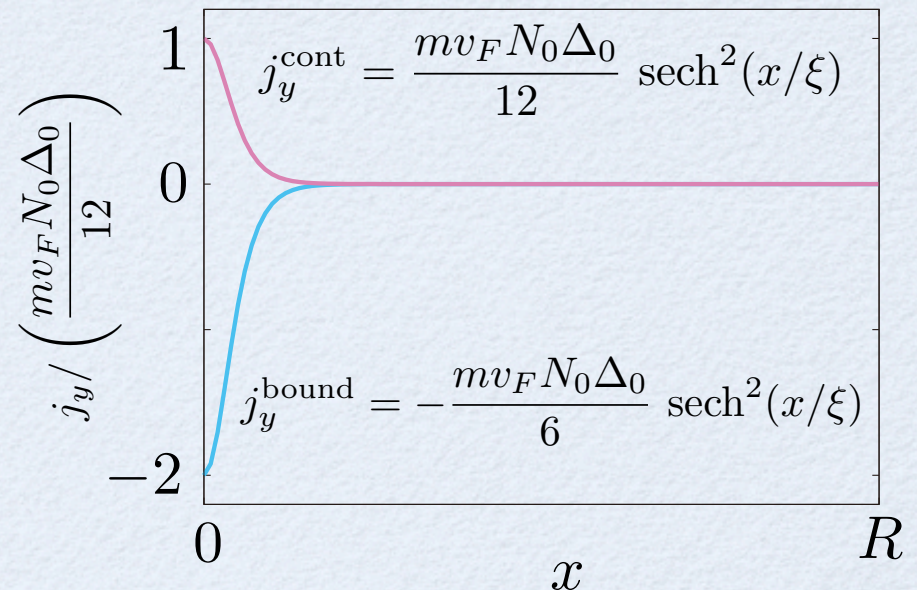
# Bound and Continuum States

$$N(x, \sin \theta, E) = N_0 \int_0^{2\pi} \frac{d\phi}{2\pi} \text{Re} [g_0(x, \mathbf{k}, \omega_n) |_{i\omega_n \rightarrow E+i\eta}]$$



$$\mathbf{j}^{\text{bound}}(x) = mN_0 \left\langle \int_{-\Delta_0 \sin \theta}^0 dE \mathbf{v}_F \text{Re} [g_0^R(x, \mathbf{k}_F, E)] \right\rangle_{\mathbf{k}_F}$$

$$\mathbf{j}^{\text{cont}}(x) = mN_0 \left\langle \int_{-\infty}^{-\Delta_0 \sin \theta} dE \mathbf{v}_F \text{Re} [g_0^R(x, \mathbf{k}_F, E)] \right\rangle_{\mathbf{k}_F}$$



$$\mathbf{j} = \mathbf{j}^{\text{bound}} + \mathbf{j}^{\text{cont}}$$

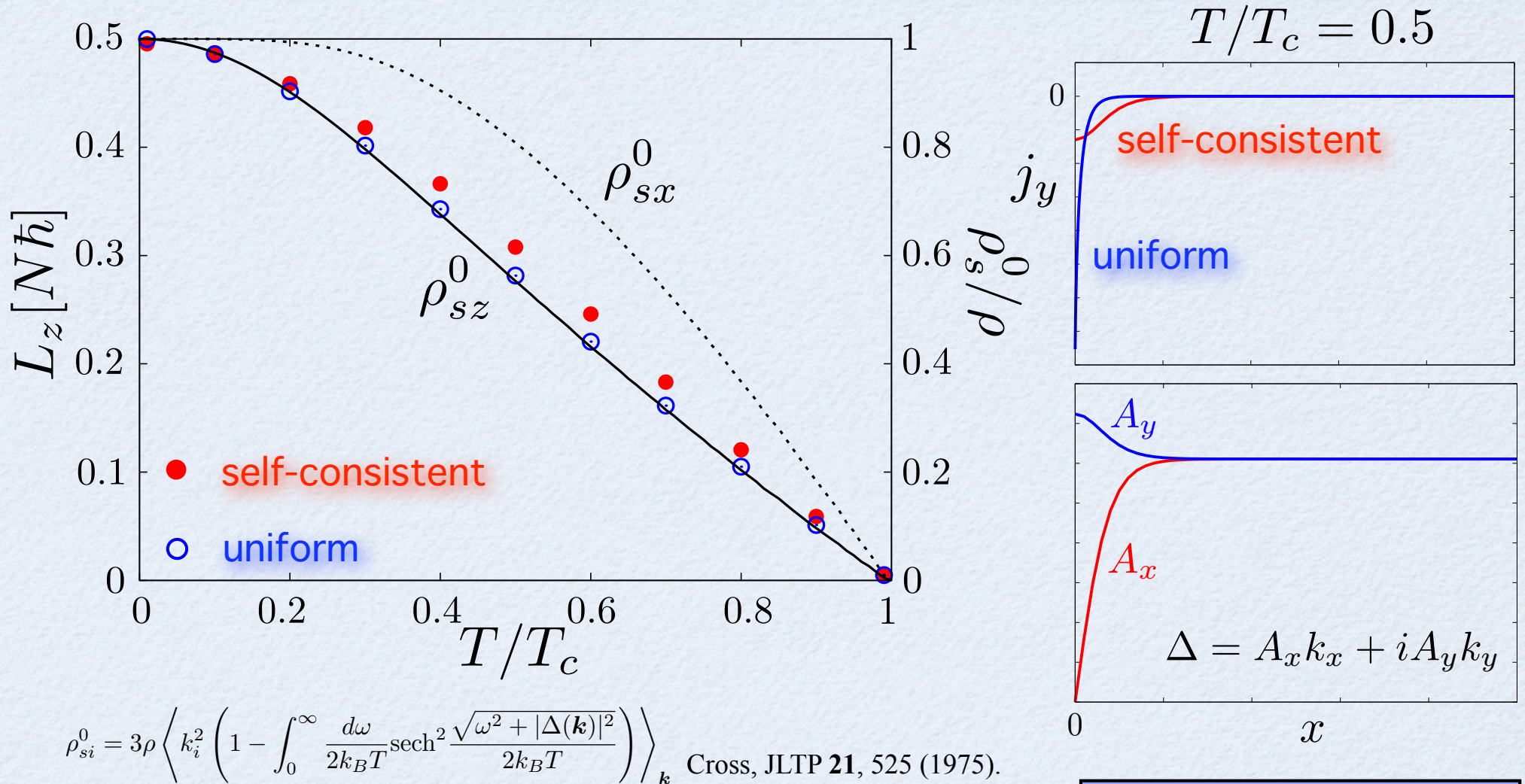
$$L_z^{\text{bound}} = N\hbar$$

$$L_z^{\text{cont}} = -\frac{1}{2}N\hbar$$

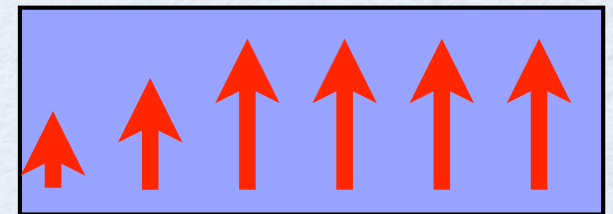


$$L_z = \frac{1}{2}N\hbar$$

# Temperature Dependence



$\tilde{l}$  ベクトルが表面で短くなるが、  
 角運動量は増加

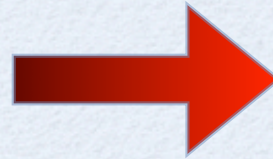


# Summary

## ● 表面Andreev束縛状態に伴うエッジカレントの角運動量

$$T \rightarrow 0 \text{ で、 } L_z^{\text{bound}} = N\hbar$$

$$L_z^{\text{cont}} = -\frac{1}{2}N\hbar$$



$$L_z = \frac{1}{2}N\hbar$$

Intrinsic Angular Momentum  
の値と一致

温度上昇によって、 $T_c$ で  $L_z = 0$  へ単調減少

$$L_z(T)/(N\hbar/2) \geq \rho_{sz}^0(T)/\rho$$

クーパー対による角運動量では理解できない

## ● Future plan

● 温度変化

$$L_z^{\text{cont}} = -\frac{1}{2}L_z^{\text{bound}} ?$$

● フェルミ液体補正